

MB 88-09

GEOCHIMIE DES SOLS LE LONG DE LA FAILLE DU GRAND PABOS - SECTEURS DE CASCAPEDIA ET NOUVELLE

Documents complémentaires

Additional Files



Licence



Licence

Cette première page a été ajoutée au document et ne fait pas partie du rapport tel que soumis par les auteurs.

Énergie et Ressources
naturelles

Québec 



SÉRIE DES MANUSCRITS BRUTS

**Géochimie des sols le long de la faille
du Grand Pabos
— Secteurs de Cascapédia et Nouvelle —**

**Jean Choinière
Michel Leduc
Michèle Goyer**

Ce document est une reproduction fidèle du manuscrit tel que soumis par
l'auteur sauf pour une mise en page sommaire destinée à assurer une
qualité convenable de reproduction

INTRODUCTION

Le projet Grand Pabos a débuté en mai 1981. L'objectif principal est de produire une étude géochimique d'une cible structurale - la faille du Grand-Pabos - le long de laquelle plusieurs indices minéralisés ont été repérés soit par la prospection, soit par la géochimie des sédiments de ruisseau. Cette faille recoupe le sud de la péninsule gaspésienne dans une direction essentiellement WSW-ENE.

Les campagnes de travaux sur le terrain nous ont fait diviser le territoire en trois secteurs. Le premier, Port-Daniel, a été couvert durant l'été 1981; long d'environ 25 km, il définit le segment de la faille du Grand Pabos qui se situe au nord des municipalités de Port-Daniel et de Bonaventure, dans les cantons de Weir, Honorat, Gueguen et Reboul. Le second, Cascapédia, a été couvert en 1982; long d'environ 50 km, il s'étend, au nord des municipalités de Bonaventure et de New-Richmond, dans les cantons de Reboul, Robidoux, Flahault, New-Richmond et Maria. Le dernier, Nouvelle, couvert en 1983, comprend 25 km de la faille pour atteindre la rivière Nouvelle, au nord-ouest du village de Allard dans une partie des cantons d'Angers, de Dugal et de Nouvelle.

La figure 1 localise chacun de ces trois secteurs. Les données géochimiques et géologiques du secteur Port-Daniel ont déjà été rendues publiques (Goyer et Langlais, 1987). Le présent rapport

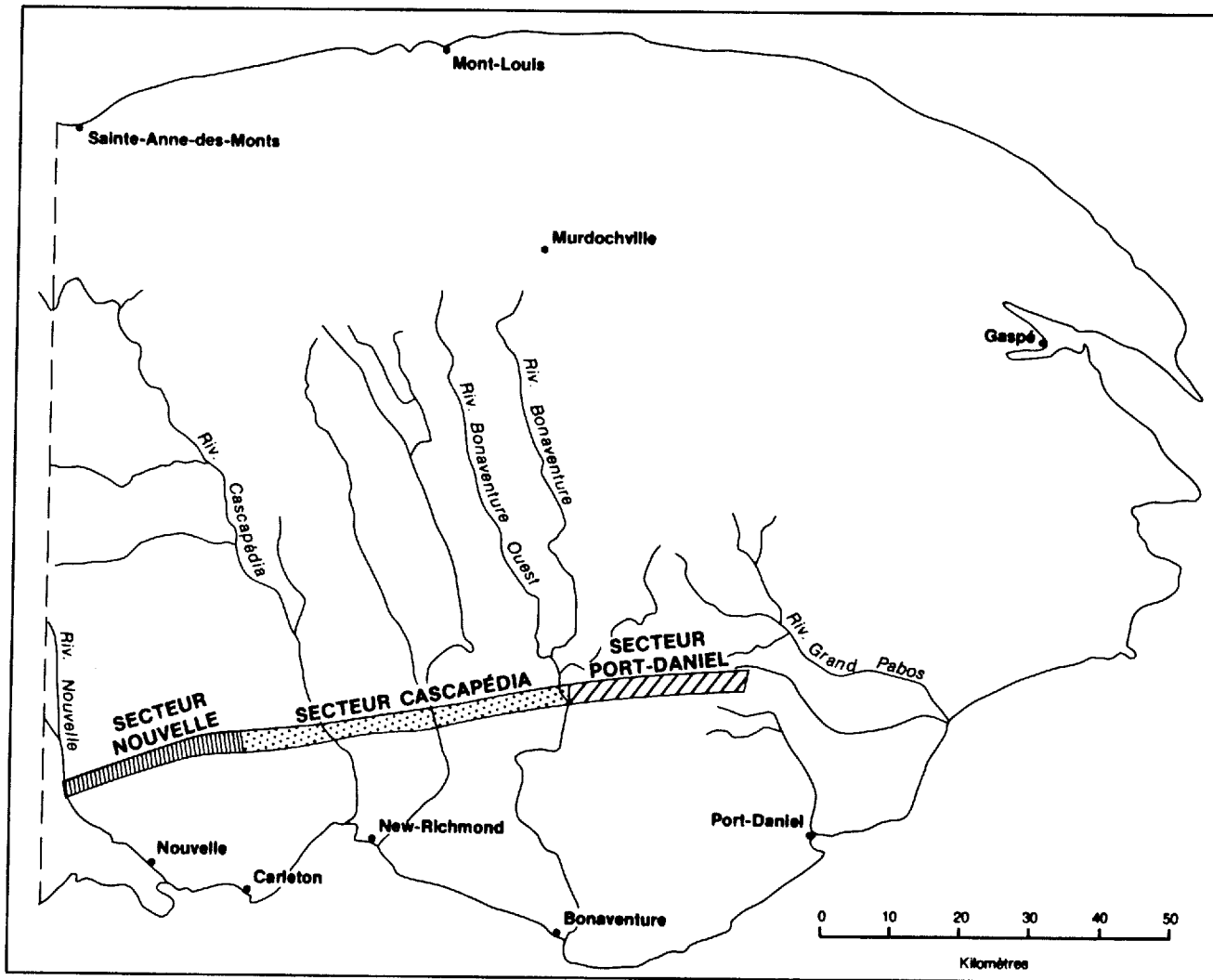


Fig. 1 - Localisation des trois secteurs échantillonnés le long de la faille du Grand-Pabos

présente les résultats du levé géochimique de sols dans les secteurs de Cascapédia et de Nouvelle.

PRÉLÈVEMENT

Des échantillons de l'horizon B des sols ont été prélevés à tous les 50 m le long de lignes N-S espacées de 300 m. Ces lignes se greffent à un réseau de lignes de base et de raccordement. La ligne de base se situe au centre; les lignes de raccordement au nord et au sud, sont à environ 1 000 m de part et d'autre de la ligne de base.

Au total, environ 13 900 échantillons de sol ont été prélevés dans les trois secteurs. Le secteur Cascapédia comprend 6 656 échantillons, tandis que le secteur Nouvelle en comprend 3 830; un total de 10 486 échantillons sont donc inclus dans le présent rapport.

ANALYSES

La fraction granulométrique inférieure à 177 microns fut analysés par le Centre de recherches minérales du MERQ. Tous les éléments présentés dans le présent rapport ont été analysés par spectrométrie d'émission atomique au plasma, à l'exception de As qui fut analysé par spectrométrie d'absorption atomique. De plus, dans le cas de As, dont les dosages ont été effectués postérieurement aux autres éléments, un seul échantillon sur deux a été dosé.

PRÉSENTATION DES DONNÉES

Afin de permettre une visualisation globale et rapide de teneurs le long des secteurs Cascapédia et Nouvelle, les échantillons ont été mis en place sur 4 cartes à l'échelle 1:20 000 qui sont elles-mêmes reportées sur une même feuille. Ce montage fut préparé pour chacun des éléments (Ag, B, Ba, Ca, Cd, Co, Cr, Cu, Fe, Li, Mn, Mo, Ni, Pb, Sm, Th, Zn). Sur ces cartes, les teneurs de chaque élément à chaque site sont représentées par un symbole dont l'intensité visuelle est proportionnelle à la teneur de l'élément.

Les données statistiques de base pour chacun des éléments sont présentés au tableau 1; l'annexe 1 présente les histogrammes de distribution.

LOCALISATION DES SITES

Afin de localiser plus précisément l'emplacement des sites de prélèvement, ceux-ci ont été reportés sur des cartes à l'échelle 1:5 000. Celles-ci, au nombre de 21, présentent, sur un fond topographique, l'emplacement des lignes de raccordement, des lignes de prélèvement et des sites de prélèvement. Ces documents sont disponibles sur microfiches.

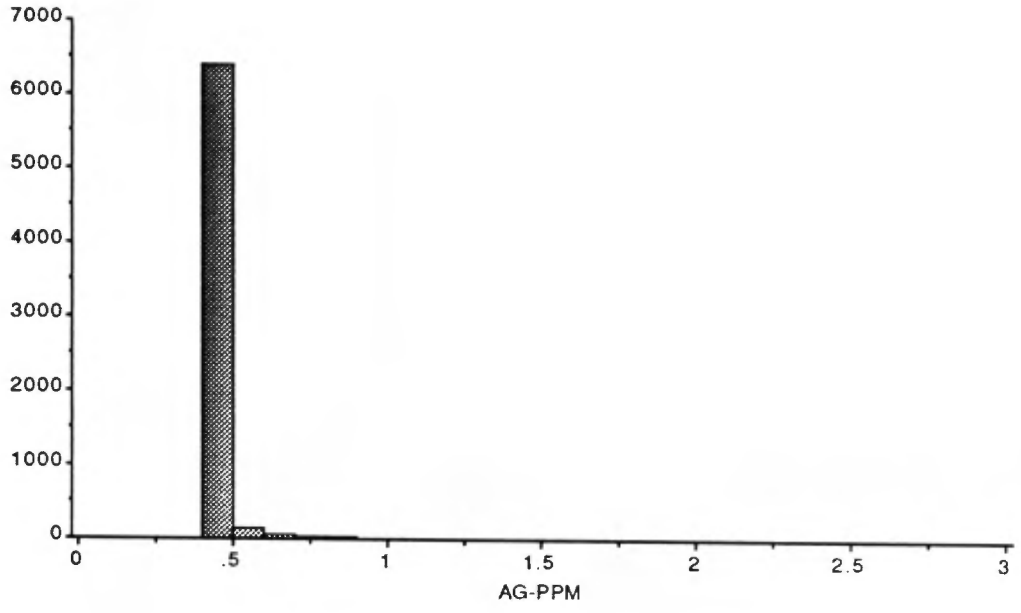
RÉFÉRENCES

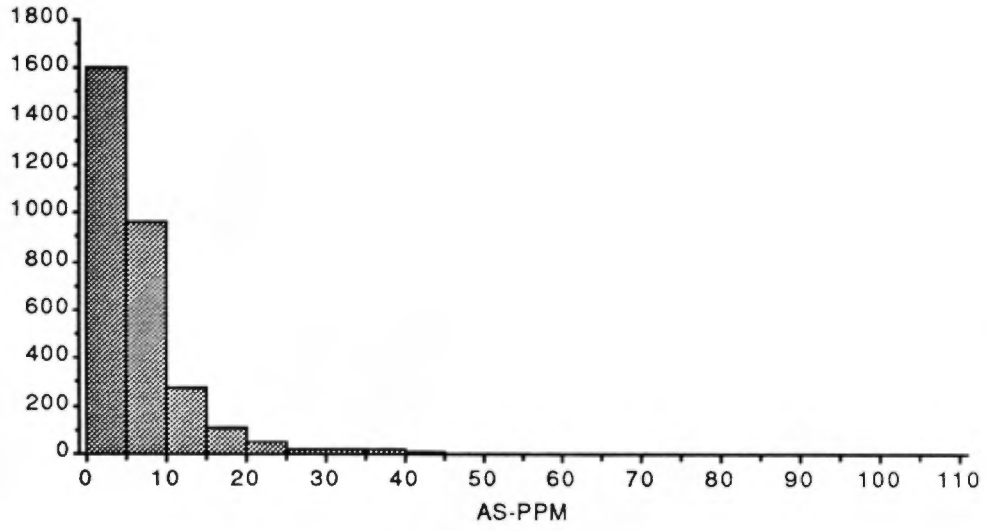
GOYER, M. - LANGLAIS, L., 1987 - Evaluation du potentiel économique de la faille du Grand-Pabos. Secteur Port-Daniel, DV 84-08.

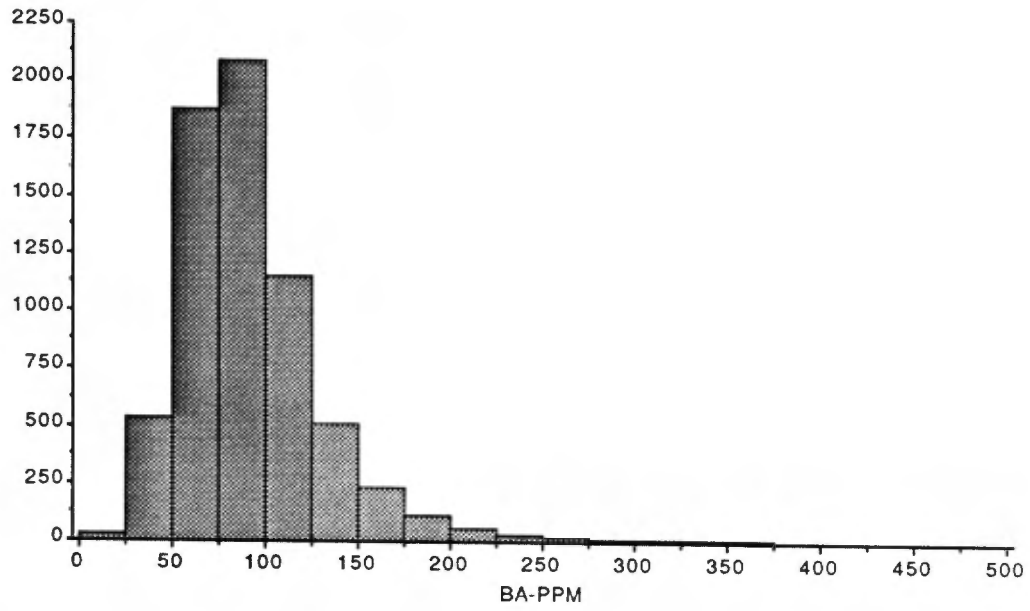
TABLEAU 1: DONNÉES STATISTIQUES SUR LES TENEURS DES ÉLÉMENTS ANALYSÉS.

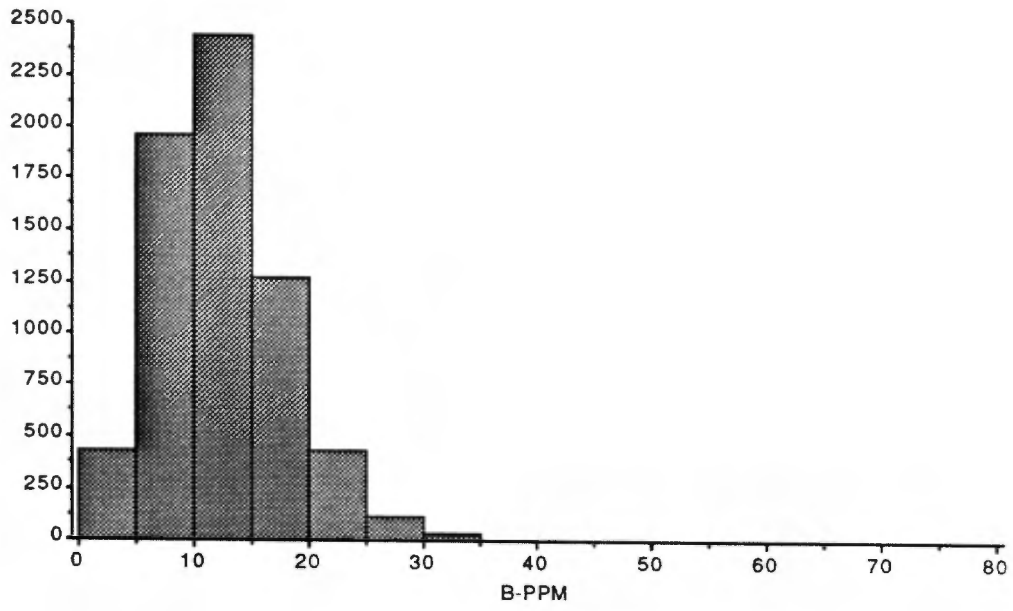
| | MIN. | MAX. | MOYENNE ARITH. | ECART TYPE | MOYENNE GEOMETRIQUE | TENEURS A DIFFÉRENTS PERCENTILES DE LA DISTRIBUTION | | | | |
|----|------|--------|----------------|------------|---------------------|---|------|------|------|-------|
| | | | | | | 20% | 50% | 80% | 95% | 99% |
| Ag | 0,4 | 5,5 | 0,41 | 0,11 | 4,04 | 4 | 4 | 4 | 4 | 6 |
| As | 2 | 384 | 7,93 | 15,10 | 5,51 | 3 | 5 | 9 | 19 | 45 |
| B | 2 | 600 | 9,90 | 7,88 | 8,49 | 4 | 9 | 14 | 20 | 26 |
| Ba | 1 | 894 | 93,05 | 41,00 | 85,88 | 65 | 87 | 115 | 157 | 230 |
| Ca | 0,01 | 16,81 | 0,26 | 0,72 | 0,08 | 0,02 | 0,06 | 0,25 | 1,13 | 3,28 |
| Cd | 0,1 | 26,1 | 0,25 | 0,38 | 2,29 | 0,2 | 0,2 | 0,3 | 0,4 | 0,9 |
| Co | 2 | 486 | 9,50 | 10,01 | 8,00 | 5 | 8 | 12 | 17 | 32 |
| Cr | 1 | 605 | 38,75 | 21,13 | 33,54 | 22 | 35 | 53 | 76 | 103 |
| Cu | 1 | 190 | 12,59 | 7,41 | 11,12 | 8 | 11 | 17 | 24 | 34 |
| Fe | 0,01 | 15,52 | 3,93 | 1,46 | 3,61 | 2,84 | 3,77 | 4,92 | 6,59 | 8,36 |
| Li | 1 | 146 | 23,21 | 12,27 | 19,84 | 13 | 22 | 32 | 44 | 60 |
| Mn | 1 | 11 290 | 414,55 | 493,12 | 295,58 | 158 | 277 | 561 | 1075 | 2 375 |
| Mo | 3 | 12 | 3,07 | 0,37 | 3,06 | 3 | 3 | 3 | 3 | 5 |
| Ni | 1 | 898 | 42,48 | 27,47 | 34,99 | 21 | 36 | 62 | 89 | 131 |
| Pb | 2 | 2 245 | 12,37 | 22,76 | 10,56 | 7 | 11 | 17 | 22 | 29 |
| Sm | 1 | 36 | 2,26 | 2,13 | 1,71 | 1 | 1 | 3 | 7 | 10 |
| Th | 2 | 33 | 4,91 | 2,94 | 4,20 | 2 | 4 | 7 | 11 | 14 |
| Zn | 3 | 2 180 | 77,67 | 51,78 | 69,26 | 49 | 71 | 99 | 139 | 202 |

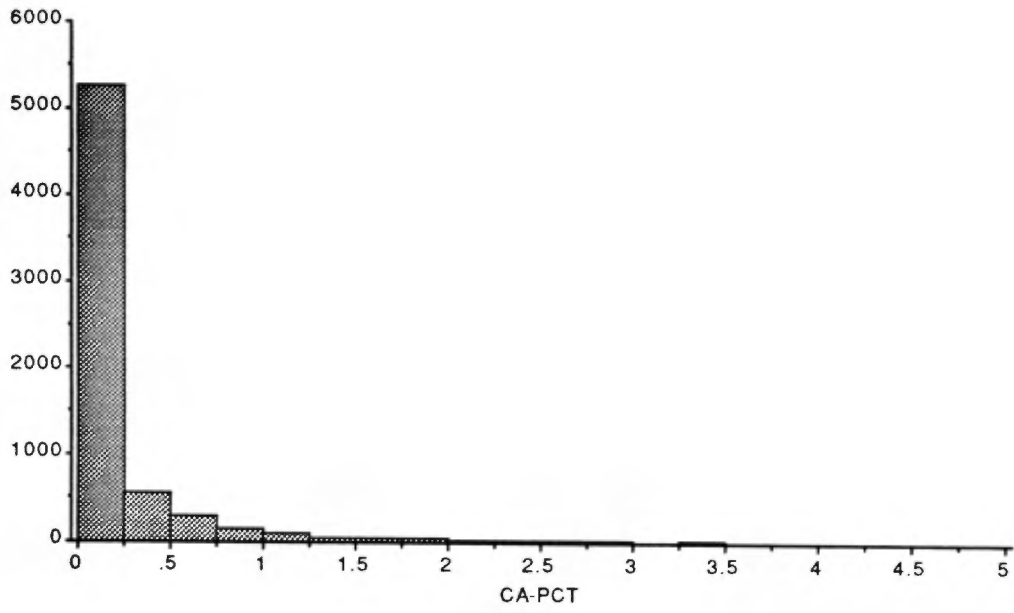
NOTE: Les teneurs sont exprimées en ppm, sauf pour Fe (%).











CADMIUM

011

